

山梨大学・工学部 正員 平島健一
株式会社・奥村組 正員・古賀明

1. まえがき

地山と形成する岩盤内の初期応力を測定することは、岩盤と対象とする構造物の設計およびその安全性を判定するための基本的な要件である。従来から、岩盤内の三次元的初期応力あるいは変動応力と種々の方法（应力回復法、应力解放法、Hydraulic Jack法等）によって測定することができる試みられてきたが、それらの方法では岩盤と等価等方性の線型弾性体とした取り扱いがなされてくる。著者の一人は先に、実際の岩盤の力学的性質とより正確に導入するためのまず第一歩として、岩盤と等価の三次元異方性弾性体と仮定してボアホール内に埋設接着した solid inclusion 测定装置（instrumented inclusion）と用いて初期応力測定のための理論的方法を提案したが¹⁾、この方法は剛性と有する測定装置によって初期応力の測定を行なうもので、一般的には剛性測定器による初期応力の測定法と柔軟測定法と呼んである。これに対し、剛性を持たない、あるいは剛性の充分小さな測定器による初期応力の測定法を柔軟測定法と呼んである。これは、同様に岩盤と三次元異方性弾性体と仮定して柔軟測定器によるとボアホール内での変形（直徑変化あるいは軸方向変位）あるいはボアホール周囲のひずみの測定結果から初期応力を測定するための解析方法ならびに具体的な手順についての理論的な考察結果と共に、三の数値計算例を述べるものである。

2. 従来までの研究の概略

Fig. 1 のようにボアホールの孔径に対して充分遠方より、三次元的には地山荷重応力 ($\sigma_x^0, \sigma_y^0, \sigma_z^0, \tau_{xy}^0, \tau_{yz}^0, \tau_{xz}^0$) を受け等方性弾性体を考え、その媒体内に穿孔された円形のボアホール周辺の応力、変位の解析結果が初期応力を決定するための基本となる。それらの理論結果は幾人かの研究者によって導かれてきたが、平松・岡¹⁾によるものがもっとも一般的な形式で表示されており、ボアホール近傍の応力、変位と円柱座標系 (r, θ, z) を用いて表わせば次式のように与えられる。

$$\sigma_r = \frac{1}{2} (\sigma_x^0 + \sigma_y^0) (1 - \frac{\alpha^2}{r^2}) + \frac{1}{2} (\sigma_z^0 - \sigma_y^0) (-1 - 4 \frac{\alpha^2}{r^2} + 3 \frac{\alpha^4}{r^4}) \cos 2\theta + \tau_{xy}^0 (-1 - 4 \frac{\alpha^2}{r^2} + 3 \frac{\alpha^4}{r^4}) \sin 2\theta$$

$$\sigma_\theta = \frac{1}{2} (\sigma_x^0 + \sigma_y^0) (1 + \frac{\alpha^2}{r^2}) - \frac{1}{2} (\sigma_z^0 - \sigma_y^0) (1 + 3 \frac{\alpha^2}{r^2}) \cos 2\theta - \tau_{xy}^0 (1 + 3 \frac{\alpha^2}{r^2}) \sin 2\theta$$

$$\sigma_z = \sigma_x^0 - 2\nu (\sigma_x^0 - \sigma_y^0) \frac{\alpha^2}{r^2} \cos 2\theta - 4\nu \tau_{xy}^0 \frac{\alpha^2}{r^2} \sin 2\theta$$

$$\tau_{rz} = \frac{1}{2} (\sigma_x^0 - \sigma_y^0) (-1 - 2 \frac{\alpha^2}{r^2} + 3 \frac{\alpha^4}{r^4}) \sin 2\theta - \tau_{xy}^0 (-1 - 2 \frac{\alpha^2}{r^2} + 3 \frac{\alpha^4}{r^4}) \cos 2\theta$$

$$\tau_{yz} = \tau_{yz}^0 (1 + \frac{\alpha^2}{r^2}) \cos \theta - \tau_{xz}^0 (1 + \frac{\alpha^2}{r^2}) \sin \theta$$

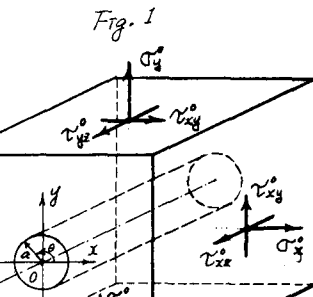
$$\tau_{xz} = \tau_{yz}^0 (1 - \frac{\alpha^2}{r^2}) \sin \theta + \tau_{xz}^0 (1 - \frac{\alpha^2}{r^2}) \cos \theta$$

$$U_r = \frac{1+\nu}{E} \left[\left(\frac{1-\nu}{1+\nu} \cdot \frac{\sigma_x^0 + \sigma_z^0}{2} - \frac{\nu}{1+\nu} \sigma_y^0 \right) r + \frac{\sigma_x^0 + \sigma_y^0}{2} \frac{\alpha^2}{r} + \left\{ r - \frac{\alpha^2}{r^2} + 4(1-\nu) \frac{\alpha^2}{r^4} \right\} \left\{ \frac{\sigma_x^0 - \sigma_z^0}{2} \cos 2\theta + \tau_{xy}^0 \sin 2\theta \right\} \right] \quad (1)$$

$$U_\theta = \frac{1+\nu}{E} \left\{ -r - \frac{\alpha^2}{r^3} - 2(1-2\nu) \frac{\alpha^2}{r} \right\} \left(\frac{\sigma_x^0 - \sigma_z^0}{2} \sin 2\theta - \tau_{xy}^0 \cos 2\theta \right) \quad (2)$$

$$U_z = \frac{1+\nu}{E} \left\{ 2(r + \frac{\alpha^2}{r}) (\tau_{yz}^0 \sin \theta + \tau_{xz}^0 \cos \theta) + \frac{z}{1+\nu} \sigma_z^0 - \frac{\nu z}{1+\nu} (\sigma_x^0 + \sigma_y^0) \right\}$$

これらの応力、変位の式を利用してボアホールの壁面での変位、ひずみの測定量から初期応力を決定するための方法のうち代表的なものを列挙すれば、(1)複数のボアホールの孔径変化量を測定する方法、(2)単一のボアホールの孔壁面ひずみを測定する方法、(3)単一のボアホールの孔径変化量および軸方向(ズベ向)変位を測定する方法等が考えられる。



3. 三次元異方性岩盤への拡張

前節に論述した方法と等質の三次元異方性弾性岩盤に適用するためには、異方性体としの場合の式(1), (2)に対応する応力、変位の式を求めるだけならば簡単であるが、これらは式はすでに著者の一人が、平松・岡らと同一の仮定と設けて理論的に求められており²⁾、それを利用する事によると初期地山応力の算定を行なうことが可能である。それらの具体的な式は非常に複雑であるのでここでは省略するが、等方性体の式(1), (2)に示すように三次元的で地山荷重応力($\sigma_x^0, \sigma_y^0, \sigma_z^0, \tau_{xy}^0, \tau_{yz}^0, \tau_{xz}^0$)、角度 θ 、距離 r 、 a 、 z の他に、考へて三次異方性体の弾性定数($a_{11}, a_{22}, \dots, a_{66}$)および特性方程式の複素根 μ_k ($k=1, 2, 3$)に關係した形で表示されるものである。それらの式はボアホール近傍の応力、変位が、当然のことながら地山荷重応力($\sigma_x^0, \sigma_y^0, \sigma_z^0, \tau_{xy}^0, \tau_{yz}^0, \tau_{xz}^0$)の各々の値と線型結合に従つてあり、したがって前節の最後に列挙した初期地山応力の測定法がすべて適用できることは明白である。

4. 数値計算例

これは(1)複数のボアホールの孔径変化量を測定する事によつて初期地山応力を決定する方法のみを例示する。この方法ではFig. 2 に示すように最低三本のボアホールが必要であり、また各々のボアホールの孔径変化と三方向以上の角度位置で測定したデータによつて、地山応力($\sigma_x^0, \sigma_y^0, \sigma_z^0, \tau_{xy}^0, \tau_{yz}^0, \tau_{xz}^0$)を完全に決定する事ができるのである。ただし、地山応力としての未知量は6個であるのに對して、測定量(したがつて方程式の数)は9個となるため、最小二乗法を用いて未知量の決定を行なうことになる。

さて、數値計算を行はうにあたつて、便宜的に次のような条件と設けた。

(a) 岩盤は横等方性の異方性体($E_x = E_y, G_{xy} = G_{yx}, V_{12} = V_{13}$)と仮定する。

(b) 弹性主軸の方向は z' 軸に対して水平、垂直の方向をもつておる。

(c) 測定点およびその孔径変化量はTable 1 の値とする。

上記の測定値は平松・岡らが導いた基本式に次のように等方性の弾性定数をDataとして計算に用いたものである。

$$E = 3.0 \times 10^5 \text{ kg/cm}^2, V = 0.250 \dots (3)$$

Table 2 は上述の条件(a)~(c)を用いて初期地山応力と計算した結果を表示したものである。なお、同表中には式(3)のよう等方性体の場合に対する平松・岡らの計算結果は5つと著者らの導いた計算式に同一の弾性定数(式(3))を代入して計算した結果を併記すべきであるが、両者の結果はほとんど完全に一致しておる。これがわかる。

5. むすび

その他の方法を用いた場合の例および計算結果に対する考察は紙面の都合上、講演会当面に譲る。

参考文献:

1) Hiramatsu, Y. and Y. Oka: Mem. Fac. Eng., Kyoto Univ., Vol. 30 (1968) pp. 480~499.

2) 丹羽義次・小林昭一・平島健一: 土木学会論文報告集, 第173号(1970), pp. 7~17.

3) Niwa, Y. and K. Hirashima: Mem. Fac. Eng., Kyoto Univ. Vol. 33 (1971), pp. 101~117

Fig. 2

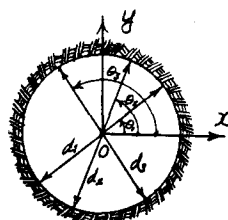
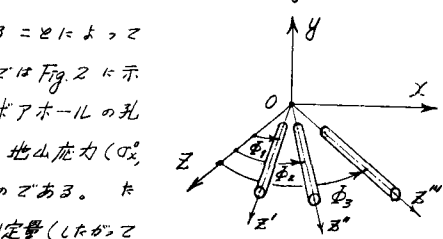


Table 1

Φ_n	$\Phi_1 = 45^\circ$			$\Phi_2 = 90^\circ$			$\Phi_3 = 135^\circ$		
Θ_n	θ_1	θ_2	θ_3	θ_1	θ_2	θ_3	θ_1	θ_2	θ_3
"	30°	90°	150°	30°	90°	150°	30°	90°	150°
$\frac{\Delta d}{d} (\%)$	-64	-832	-265	-52	-826	-320	-128	-816	-308

Table 2.

$\frac{G_{xy}}{G_{yy}}$ (Kg/cm^2)	平松・岡 の結果	著者らの計算結果				
		σ_x^0 (Kg/cm^2) (Isotropic)	$e = 5/6$	$e = 1/2$	$e = 1/5$	$e = 1/10$
G_{xy}^0	-31.0	-31.3	-28.4	-17.7	-6.6	-1.3
G_{yz}^0	-97.9	-98.0	-81.2	-48.7	-19.9	-9.9
G_{zx}^0	-29.6	-29.8	-24.2	-14.9	-6.2	-3.1
τ_{xy}^0	-12.4	-12.4	-10.3	-6.0	-2.5	-1.3
τ_{yz}^0	-3.6	-3.7	-3.3	-2.6	-1.2	-0.7
τ_{zx}^0	+0.7	+0.7	+0.6	+0.6	+0.2	+0.2

$$E_{11} = E = 3.0 \times 10^5 \text{ kg/cm}^2, e = E_{xy}/E_{11} = E_{xy}/E_{11}$$

$$V_{12} = V = 0.250, V_{13} = V_{23} = 0.150$$

$$\frac{1}{G_{23}} = \frac{1}{E_{22}} + \frac{1}{E_{33}} + \frac{2V_{23}}{E_{11}}, \frac{1}{G_{13}} = \frac{1}{E_{11}} + \frac{1}{E_{33}} + \frac{2V_{13}}{E_{11}}$$